

### I-3 湾水振動における開口部のエネルギー損失の効果について

鹿島大学工業短期大学部 正員 村上 仁士  
 鹿島大学大学院 ○学生員 野口 英二  
 鹿島大学大学院 学生員 金木 一光

1. まえがき； Ippen-Goda が求めた簡単な長方形港湾の湾水振動理論に、開口部でのエネルギー損失を表わす損失係数( $f$ )を導入することにより、防波堤開口部におけるエネルギー損失を考慮した湾水振動理論を提示する。また、それと同時に、Ünlüata-Mei の理論をも参考にし、湾水の振動特性を、理論、実験の両面から検討する。

2. 理論； 図-1 のような港湾モデルにおいて、まず最初に次のような仮定を行う。①水は非粘性、非圧縮性である。②入射波は一定周期の微小振幅波で、半無限の海岸線に対して直角に入射する。③波は境界面で完全反射し、湾内外は一樣水深である。④開口幅は比較的小さく、開口部における出入量はほぼ一様である。⑤波は線形長波である。以上の仮定により速度ポテンシャルが存在し、波高分布関数を含む速度ポテンシャルを仮定して、それを Laplace の式に代入すると、Helmholtz の式が得られる。そこで、この Helmholtz の式を、境界面上では法線速度が 0、開口部から無限遠方では完全重複波になると、という境界条件と、開口部での湾内外の流速が一定という条件を用いて解くと、開口部での湾外、湾内の平均水位  $\bar{h}_1$ 、 $\bar{h}_2$  が得られる。また、時刻  $t$  にかかるうらづつねに開口部においては湾内外に水位差を生じてはいるとの仮定するならば、次式が成立する。

$$\bar{h}_2 - \bar{h}_1 = \frac{f}{2} \cdot U(t)$$

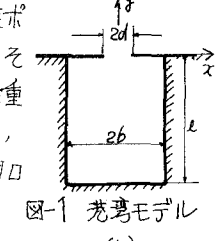


図-1 港湾モデル

----- (1)

さらに、上の条件を用いて解くと、C に関する4次方程式((2)式)が得られる。

$$\frac{16f^2\alpha^2g^2h^4}{\pi^2}\text{C}^4 - \frac{8f\alpha g^2h^4}{\pi^2}\text{C}^2 + \left[ \left( K_2 - \frac{d}{b}(\cot \alpha b - S_1) \right)^2 + K_1^2 \right] \text{C}^2 - 1 = 0 \quad ----- (2)$$

$$\begin{cases} K_1 = \frac{2}{\pi} \text{fd} \int_0^{\pi} \frac{\sin^2 \alpha}{\alpha^2 (\text{fd})^2 - d^2} d\alpha, & K_2 = \frac{2}{\pi} \text{fd} \int_{\pi}^{\infty} \frac{\sin^2 \alpha}{d^2 (\alpha^2 - (\text{fd})^2)^2} d\alpha, \\ S_1 = 8 \left( \frac{b}{\pi \text{fd}} \right) \sum_{n=1}^{\infty} \frac{\sin \frac{n\pi d}{2b} \cos \frac{n\pi}{2}}{n^2 \beta_n \tanh \beta_n \text{fd}} \end{cases}$$

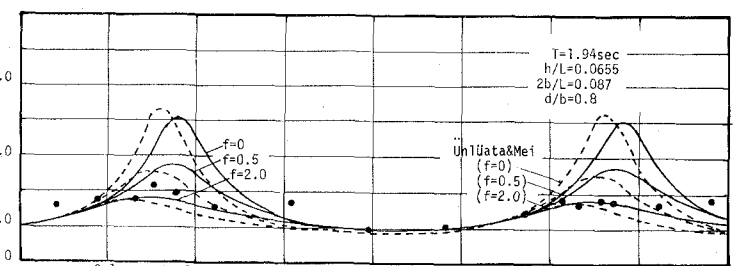
$$\beta_n = \sqrt{\left( \frac{n\pi}{2b} \right)^2 - 1} \quad (n\pi > 2\pi b \text{ のとき}), \quad \beta_n' = i\beta_n = i\sqrt{1 - \left( \frac{n\pi}{2\text{fd}b} \right)^2} \quad (n\pi < 2\pi b \text{ のとき})$$

ただし；  $\alpha$  は角振動数、  $f$  は損失係数、  $\alpha$  は入射波高、  $\beta$  は波数、  $g$  は重力加速度、  $C$  は水柱子の速度を示す定数。

以上の結果、港奥( $0 \leq z \leq d$ )での波高増幅率  $R$  は (2) 式の  $C$  を用いることになる。

$$R = \left| \frac{d}{b} \frac{1 - S_2}{\sin \alpha b} C \right| \quad (3)$$

$$\text{ただし}, \quad S_2 = \frac{4b}{\pi \text{fd}} \sinh \text{fd} \sum_{n=1}^{\infty} \left( \frac{1}{n \beta_n} \times \frac{\sin \frac{n\pi d}{2b} \cos \frac{n\pi}{2}}{\sinh \beta_n \text{fd}} \right)$$



(1)

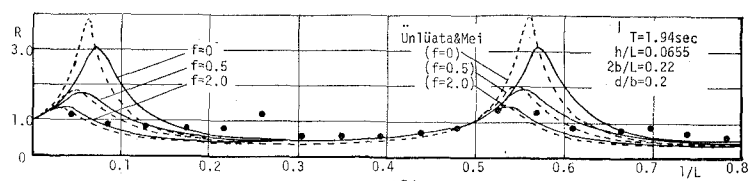


図-2 港水の振動特性

3. 振動特性： 図-2 は (3) 式で、  $T=1.94\text{sec}$ ,  $h=15\text{cm}$ ,

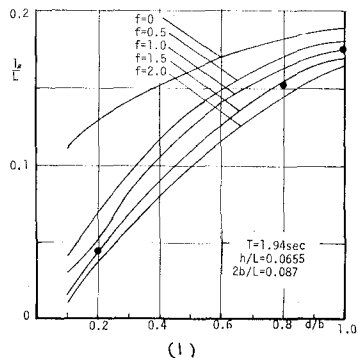
$a = 2.6 \text{ cm}$ とした計算結果である。同図には、エネルギー損失を考慮した理論と同様な手法で解かれた Ünlüata-Mei の理論と実験結果を併記している。図の(1)は、波長に比 $d/b$ が小さく、開口部が大きい( $d/b = 0.8$ )場合である。 $f$ が大きくなるにつれて、 $R_E$ (共振倍率)が減少し、 $\eta_L$ (相対共振率)が小さい方へ変化することわかる。図の(2)は、波長に比 $d/b$ が比較的大きく、開口部が小さい( $d/b = 0.2$ )場合である。 $f$ による変化は(1)と同じ傾向を示してゐるが、 $R_E$ の最少値は1以下となる。一方、Ünlüata-Mei の理論値は、式(3)に比べると $f$ に関してはほぼ同じ値をとりうるが、 $\eta_L$ は全体的に小さい方へずれる傾向がある。

4. 共振特性: a)  $\eta_L$ と  $f$ との関係 図-3は $\eta_L$ 、 $f$ の変化に対する $\eta_L$ の変化を示したものである。外海が半無限の基本モードの場合には通常 $f=0.25$ で共振するといわれるが、 $\eta_L$ が小さく、 $f$ が大きくなるにつれて、この値よりも小さくなる。とくに、図の(1)および(2)を比較した場合、 $\eta_L$ (相対共振率)が小さくなればなるほど、この傾向は顕著である。一方、実験値において、 $\eta_L$ が1に近い場合は、湾幅が大きいほど $\eta_L$ は小さくなり、逆に $\eta_L$ が小さい場合は、湾幅によらずほぼ同じ値になってしまおり、損失係数 $\alpha$ もほぼ1付近と考えられる。また、理論値と実験値を比較して、 $f$ が小さく、 $\eta_L$ が小さいほどエネルギー損失の効果が大きいことがわかる。 b)  $\eta_L$ と  $R_E$ の関係 図-4は $\eta_L$ 、 $f$ の変化に対する $R_E$ の変化を示したものである。エネルギー損失を考慮しない場合( $f=0$ )では、 $\eta_L$ の減少とともに $R_E$ が増加する、いわゆる harbor paradox を呈している。しかし、エネルギー損失を考慮した場合( $f \neq 0$ )では、 $\eta_L$ が減少するほど $R_E$ が減少する傾向がみられ、 $\eta_L$ と同様、 $\eta_L$ が小さくなればなるほどこの傾向は顕著である。一方、実験値において、湾幅が小さい場合は $\eta_L$ の減少とともに $R_E$ が減少するが、湾幅が大きい場合は、開口比による変化はさほどみられない。また、理論値と実験値を比較した場合、 $\eta_L$ と同様、 $\eta_L$ が小さいほどエネルギー損失の効果が大きいことがわかる。

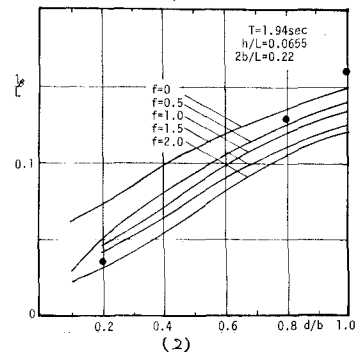
5. あとがき: 本研究により、開口部でのエネルギー損失が湾水の共振特性に大きな影響を及ぼすことがわかった。しかししながら、 $f$ の値を任意に与えることによって、湾水振動を論じたにすぎず、開口部でのエネルギー損失は港湾形状、入射波の諸元によって変化するものと考えられ、今後、 $f$ の値を定量的に評価しなければならない。

最後に本研究にあたり、実験などに御協力頂いた山田平氏(東亜建設)に深謝の意を表する。

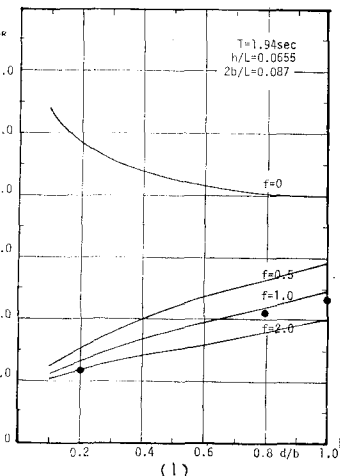
参考文献 ① Ippen,A.T. and Y. Goda: The solution for a rectangular harbor connected to the open sea, Rep. No.59, M.I.T., July, 1963.  
② Ünlüata, Ü. and C.C. Mei: Effects of entrance loss on harbor oscillations, Jour. Waterways Harbors and Coastal Eng. Div., pp.161-180, May, 1975.



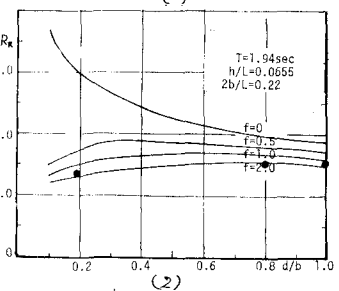
(1)



(2)

図-3  $\eta_L$ と  $f$ との関係

(1)



(2)

図-4  $\eta_L$ と  $R_E$ との関係